

# Implementación de un Transmisor de ISDB-T Abierto Bajo el Paradigma de Radio Definida por Software

Javier Hernández (javier.hernandez@fing.edu.uy), Santiago Castro (santiago.castro@fing.edu.uy)

**Resumen**—ISDB-T es el principal estándar adoptado en América Latina para la difusión de televisión digital terrestre. Hoy en día el estándar está consolidado en la región, los países de América Latina han realizado importantes inversiones para desplegar el nuevo sistema de televisión digital terrestre basado en este estándar. Esto nos lleva a investigar y desarrollar nuevas posibilidades en lo que respecta al sistema de televisión digital. En este artículo presentamos gr-isdbt-tx, un transmisor ISDB-T abierto, libre y gratuito totalmente basado en software, implementado en GNU Radio. Esta implementación es capaz de generar una señal de televisión digital compatible con cualquier televisor digital homologado para ISDB-T. También permite que estudiantes, profesionales e investigadores puedan conocer al detalle cómo es que funciona un transmisor de televisión digital, sin necesidad de costear equipos de gran valor económico. En conjunción con gr-isdbt: Un receptor ISDB-T fullseg abierto y libre implementado en GNU Radio, el usuario tiene una poderosa herramienta para correr un sistema de televisión digital de punta a punta, y así explorar y probar el comportamiento de un sistema de comunicación complejo sin ningún tipo de hardware. En este artículo presentamos el transmisor desarrollado, así como sus fundamentos y los problemas más relevantes que han tenido que ser resueltos para lograr una implementación exitosa. También presentamos algunas pruebas y sus resultados.

**Términos**—Integrated Services Digital Broadcasting, GNU Radio, Software Defined Radio.

## I. INTRODUCCIÓN

Los antiguos sistemas de televisión analógica están siendo reemplazados por los nuevos sistemas digitales. Existe una innumerable cantidad de mejoras y ventajas respecto a los antiguos, como por ejemplo una mayor eficiencia espectral, mejor calidad de audio y video, la posibilidad de transmitir múltiples programas al mismo tiempo en el mismo canal, y la utilización de canales de datos. El enorme crecimiento que han tenido las comunicaciones inalámbricas en los últimos tiempos, ha hecho que el espectro radioeléctrico se convierta en un recurso natural finito extremadamente valioso. Varios países ya han transitado el camino apagón analógico, reemplazando definitivamente los sistemas de televisión analógica. Sin embargo hay muchos otros en los que aún conviven ambos sistemas de teledifusión. El despliegue de un nuevo sistema de televisión digital es una tarea mayúscula, tal como en otros campos de las comunicaciones inalámbricas surgen distintas soluciones para el mismo problema. Respecto a los sistemas de televisión digital, se pueden encontrar los siguientes estándares: ISDB (Integrated Services Digital Broadcasting) es el estándar japonés, DVB (Digital Video Broadcasting) es el estándar europeo, ATSC (Advanced Television Systems

Committee) es el estándar norteamericano y DTMB (Digital Terrestrial Multimedia Broadcast) es el estándar chino.

Este trabajo se enfoca en el estándar ISDB-T el cual ha sido ampliamente adoptado por los países de América Latina. Muchos países aún se encuentran desplegando sus sistemas de televisión digital, para lograr un despliegue exitoso es imprescindible contar con una comprensión profunda de la norma. Este grado de dominio no sería posible alcanzarlo si no se conoce en detalle todo el sistema, desde la etapa de transmisión hasta la etapa de recepción. Las compañías que fabrican esta clase de equipamiento son algunas pocas en el mundo y sus soluciones no suelen estar al alcance de todos.

Las Radios Definidas por Software (SDR por sus siglas en inglés) son una gran alternativa para desarrollar sistemas de comunicación. Se trata de un nuevo paradigma donde los sistemas de radiocomunicaciones, tradicionalmente implementados en hardware, son en cambio implementados por software. Esto típicamente se lleva a cabo a través de una computadora personal encargada de ejecutar el software, y un hardware genérico que se encarga de sintonizar, filtrar y muestrear la señal de radio a cierta tasa. De esta manera la señal puede ser procesada por la computadora. Hay una gran variedad de estos equipos que van desde unos pocos dólares hasta algunos cientos o incluso miles de dólares. El paradigma de la radio definida por software permite lograr una implementación completa de sistemas de radiocomunicaciones de manera económica y sencilla en cierto sentido.

En este trabajo en particular, utilizamos una PC de propósito general junto con equipos basados en SDR como lo son el USRP B100 (Universal Software Radio Peripheral de Ettus) [1] o el HackRF One (de Great Scott Gadgets) [2] que cumplen con la tasa de muestreo requerida por el estándar ISDB-T. Para el desarrollo utilizamos el toolkit de GNU Radio, se trata de un software ampliamente utilizado para el desarrollo de radios definidas por software. Provee de bloques de procesamiento de señal de propósito general como filtros, re-samplers, moduladores y demoduladores analógicos y digitales. Estos bloques pueden ser combinados para lograr diferentes sistemas de comunicación. También es posible la implementación de nuevos bloques personalizados por parte de los usuarios, de manera de contribuir con el código fuente de GNU Radio. Esto hace que la comunidad de GNU Radio sea muy activa y resulte en una contribución continua de los usuarios tanto en el desarrollo de nuevas radios definidas por software o el testeo de otras implementaciones.

En este trabajo presentamos gr-isdbt-tx

(<https://github.com/jhernandezbaraibar/gr-isdbt-Tx>), un transmisor de ISDB-T abierto bajo el paradigma de radio definida por software, que continúa y complementa la línea de trabajo comenzada con el receptor gr-isdbt.

Este transmisor ha sido implementado completamente en GNU Radio y puede tomar hasta tres flujos de entrada MPEG-2 tal como lo establece el estándar. Tiene la posibilidad de trabajar tanto en modo one-seg como en full-seg, y el usuario cuenta con la libertad de establecer los parámetros de configuración del sistema. El desarrollo sobre GNU Radio hace que, con solamente un PC, el usuario pueda correr un sistema de televisión digital de punta a punta integrando gr-isdbt-tx con gr-isdbt. Alternativamente con un hardware SDR, como el USRP B100, es posible transmitir la señal por el aire hacia cualquier televisor de uso doméstico compatible con ISDB-T.

En lo que sigue se presenta una descripción del estándar ISDB-T, haciendo hincapié en los puntos fundamentales de esta norma y los parámetros más relevantes. Los detalles en cuanto a la programación y los algoritmos utilizados pueden ser consultados en el repositorio del proyecto [9].

## II. EL ESTÁNDAR ISDB-T

El estándar de televisión digital terrestre ISDB-T puede ser caracterizado en cuatro grandes etapas: la conformación del Broadcast Transport Stream (BTS), la codificación de canal, la formación del cuadro OFDM, y la puesta en el aire de la señal. En la figura 1 se presenta el esquema completo del sistema transmisor. El sistema admite como fuente de datos hasta tres flujos de transporte MPEG-2 [3]. Cada flujo está conformado por una secuencia de paquetes denominados *Transport Stream Packet* (TSP) de 188 bytes. Los flujos MPEG-2 son multiplexados por el bloque TS Remux en un único flujo llamado *Broadcast Transport Stream* (BTS); además de la multiplexación de los TSP el TS Remux tiene otras tareas como el agregado de cierta información jerárquica en los paquetes.

Una de las características destacables de ISDB-T es la posibilidad de la transmisión jerárquica de la información, esto es, que cada flujo MPEG-2 puede ser transmitido con una configuración propia con distintos grados de robustez. A la transmisión de un flujo MPEG-2 con su configuración jerárquica se lo denomina *capa jerárquica* y el estándar permite transmitir hasta tres capas en simultáneo. Cada capa tiene asignada un conjunto de portadoras en el espectro que más adelante se analizará su conformación.

Una vez conformado el BTS se comienza a robustecer la señal agregando redundancia y utilizando distintos tipos de entrelazamientos. En los sistemas de comunicaciones es común encontrar que se utilicen códigos correctores de errores concatenados, esto aumenta significativamente el desempeño de los mismos. En ISDB-T se utiliza como código exterior un Reed-Solomon (204,188) y un código convolucional (FEC) como código interior.

Como cada flujo debe ser procesado por separado es necesario que a cada uno se le aplique un proceso según la configuración jerárquica elegida. Es por esto que hay un

bloque **divisor jerárquico** encargado de separar el BTS en tres flujos y encaminarlos según lo que corresponda.

El robustecimiento de la señal se realiza con distintos objetivos, por ejemplo para evitar el fading en frecuencia y las ráfagas de errores. El bloque dispersor de energía tiene como objetivo eliminar posibles largas secuencias de unos o ceros que puedan haber en el flujo de transporte. De otra manera podrían haber errores de sincronismo y también habrían porciones del espectro donde se concentraría la energía, quedando así subutilizado este recurso. El dispersor de energía utiliza un circuito para generar una secuencia pseudo-aleatoria la cual es invertible aplicando el mismo circuito a la secuencia. Como resultado se obtiene una secuencia aleatoria sin largas secuencias de ceros y unos.

A continuación del dispersor de energía se encuentra el bloque de **entrelazamiento de bytes**. El entrelazamiento consiste en aplicar una serie de retardos a los distintos bytes que van arribando al bloque. Como el receptor conoce la manera en que se realizaron estos retardos es capaz de deshacerlos y volver a la secuencia original. Esta estrategia de entrelazamiento es ampliamente utilizada luego de un código de bloque como el Reed-Solomon, este último es capaz de corregir errores de hasta ocho bytes. Si durante la transmisión se corrompiera una cantidad mayor de bytes consecutivos el código se volvería inútil, sin embargo al estar los bytes entrelazados el receptor ve estos errores como puntuales y el código es capaz de corregirlos.

Como *inner code* se utiliza un código convolucional con *puncturing* cuya tasa madre es 1/2. La técnica del *puncturing* permite lograr **tasas de código** de 1/2, 2/3, 3/4, 5/6, 7/8.

La siguiente etapa consiste en el **entrelazamiento de bits y mapeo**. Este proceso es similar al entrelazamiento de bytes; en *gr-isdbt-tx* los bits que ingresan a este bloque son empujados en distintas colas de distintos tamaños, luego se extrae el bit que se encuentra al otro extremo de cada cola. Con esto se logra tener a la salida un flujo de bits entrelazados. Es importante tener en cuenta que, tanto el bloque de entrelazamiento de byte como el de bit, generan atrasos que deben ser compensados. En *gr-isdbt-tx* el mapeo de bits en símbolos complejos se realiza conjuntamente con el entrelazamiento de bits. ISDB-T admite las modulaciones DQPSK, QPSK, 16QAM y 64QAM. Este proceso simplemente consiste en agrupar los bits en símbolos complejos según tablas que pueden consultarse en [4]. Hasta este punto los flujos de datos de las distintas capas vienen siendo procesados de acuerdo a los parámetros de cada una de ellas, ahora resta volver a combinar los tres flujos para lograr un único flujo de transporte. El bloque que se encarga de esta tarea es el **combinador jerárquico**. Luego de armado el flujo único con las tres capas jerárquicas, se realiza un **entrelazamiento temporal** de los símbolos complejos. Consiste en distribuir los símbolos complejos en el dominio del tiempo. Esta técnica actúa como mecanismo de protección frente a ruidos impulsivos que típicamente se caracterizan por una corta duración en el tiempo. La **profundidad** o largo del entrelazamiento temporal es el parámetro que rige este proceso de entrelazado y puede ser seteado de manera independiente para cada capa. Está íntimamente ligado a la dispersión temporal que se realiza en los símbolos; a mayor profundidad,

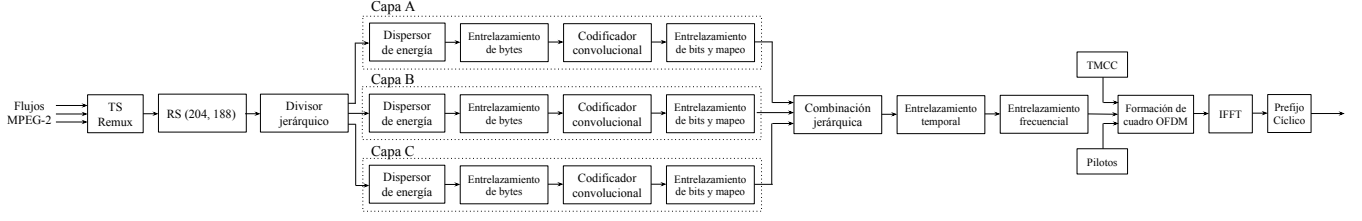


Fig. 1: Esquema del sistema transmisor ISDB-T.

los símbolos de una misma portadora son retardados un tiempo mayor.

Debido a la característica de ISDB-T de utilizar un gran número de portadoras en el espectro, ocurre que frente a canales selectivos en frecuencia se pueden ver afectadas una cantidad importante de portadoras consecutivas. Una estrategia para mitigar esto es el **entrelazamiento frecuencial**. El entrelazamiento que realiza este estándar consiste en dos etapas; el entrelazamiento inter-segmentos y el entrelazamiento intra-segmentos. En la primera etapa los símbolos que comparten la misma modulación son intercalados, mientras que en la segunda etapa los símbolos de un mismo segmento son rotados de acuerdo a cierta expresión que establece el estándar. Posteriormente son aleatorizados según ciertas *Look Up Tables* [4].

Para colocar la señal en el aire, ISDB-T utiliza un esquema de **modulación OFDM** [5] (Orthogonal Frequency-Division Multiplexing). Este esquema consiste en el uso de portadoras ortogonales, lo que ofrece una mejor eficiencia espectral respecto a los clásicos esquemas de multiplexación en frecuencia. La idea de esta tecnología consiste en modular pulsos rectangulares con los símbolos complejos provenientes del sistema, que como ya se mencionó, pueden ser DQPSK, QPSK, 16QAM y 64QAM. Luego de esta modulación se agrega un **prefijo cíclico** que consiste en una copia del símbolo OFDM y es una fracción del símbolo activo. Puede tomar los valores de 1/4, 1/8, 1/16, 1/32. Esta copia consiste en tomar la última porción del símbolo activo OFDM y copiarlo al comienzo. Es posible ver que si la señal tiene un ancho de banda  $W$ , y  $N$  es la cantidad total de portadoras, entonces un símbolo activo OFDM tiene una duración  $T_S = N/W$  [5].

En cuanto al número de portadoras utilizadas, ISDB-T admite la utilización de  $2^{11}$ ,  $2^{12}$  o  $2^{13}$  portadoras según si el **modo de transmisión** es 1, 2 o 3 respectivamente. Sin embargo no todas estas portadoras son utilizadas ya que algunas son reservadas para mantener un intervalo de guarda. Las portadoras son divididas en 14 conjuntos denominados **segmentos**, cada uno de ellos con igual número de portadoras. De esos 14, sólo 13 son utilizados para transmitir datos y el restante es utilizado como guarda a ambos lados del espectro.

Es usual encontrar que en los sistemas de comunicación digitales se delimiten los datos transmitidos dándoles forma de cuadros con una duración fija. Esto vuelve más sencillas las tareas de sincronización dado que en recepción se sabe en qué momento comienza un cuadro. Particularmente en los sistemas OFDM estos cuadros se denominan precisamente

Parámetro	Valor
Ancho de banda del canal	6 MHz
Cantidad de segmentos	13
Ancho de banda de cada segmento	$6000/14 \approx 428.57 kHz$
Cantidad de portadoras activas por segmento	96 de datos y 12 pilotos (Modo 1) 192 de datos y 24 pilotos (Modo 2) 384 de datos y 48 pilotos (Modo 3)
Duración de símbolo activo	$252\mu s$ (Modo 1) $504\mu s$ (Modo 2) $1008\mu s$ (Modo 3)
Duración del prefijo cíclico	1/4, 1/8, 1/16, 1/32 (fracción del símbolo activo)
Tasa de código convolucional	1/2, 2/3, 3/4, 5/6, 7/8
Tasa de código Reed-Solomon	(188, 204)
Profundidad del entrelazamiento temporal	0, 1, 2, 4 (Modo 1) 0, 2, 4, 8 (Modo 2) 0, 4, 8, 16 (Modo 3)
Esquemas de modulación	DQPSK, QPSK, 16QAM, 64QAM
Frecuencia de muestreo ( $f_{FFT}$ )	$512/63 \approx 8.127 MHz$

Tabla I: Parámetros relevantes en el estándar ISDB-T.

**cuadros OFDM.** El cuadro OFDM es una estructura de datos que agrupa los datos de carga útil, portadoras piloto y señales de control. Tiene todo lo necesario para que un receptor compatible con ISDB-T sea capaz de decodificarlo en flujos MPEG-2 y reproducir la información.

Se trata de un conjunto de 204 símbolos OFDM, cada uno de ellos formados por  $13 \times 108 \times 2^{modo-1}$  símbolos complejos. El bloque que se encarga de conformar el cuadro OFDM también tiene a cargo las tareas de insertar ciertas señales piloto como son la **Transmission and Multiplexing Configuration Control (TMCC)**, las **Scattered Pilot (SP)** y las **Auxiliary Channel (AC)**.

La TMCC contiene información de sincronismo y control para que el receptor pueda saber qué cantidad de capas jerárquicas se está utilizando, qué segmentos están asignados para cada una de ellas, la modulación utilizada, el código convolucional y entrelazamiento temporal entre otra información útil.

Las SP o portadoras dispersas son señales BPSK que se insertan a lo largo de los símbolos OFDM y van rotando símbolo a símbolo. Estas portadoras se generan a partir de un circuito que evoluciona según el índice de la SP dentro del símbolo OFDM. El objetivo de estas portadoras es la estimación del canal y por lo tanto son rotadas para evitar que caigan siempre en un lugar que presente fade en frecuencia.

También existe la posibilidad de transmitir información adicional en las portadoras AC, consiste en portadoras que utilizan modulación DBPSK pensadas para oficiar de canal

auxiliar. En caso de no ser utilizadas se rellenan con unos.

Con el propósito de facilitar el sincronismo en recepción, se utiliza un **piloto continuo** modulado en BPSK a la derecha del espectro. En la tabla I se presenta en detalle los parámetros más relevantes en el estándar.

Una vez armado el cuadro OFDM lo que sigue es la modulación de los símbolos en el esquema OFDM. Para ello se aplica el algoritmo de la **Inverse Fast Fourier Transform (IFFT)** y a continuación se agrega el prefijo cíclico.

### III. GNU RADIO Y LAS RADIOS DEFINIDAS POR SOFTWARE

GNU Radio es un entorno de desarrollo orientado a procesamiento de señales, gratuito y de código abierto. Mediante la interconexión de bloques de procesamiento, puede usarse en conjunto con antenas de RF para desarrollar SDRs, o en una versión local en modo de simulación de sistemas. La aplicación por defecto trae una amplia gama de bloques funcionales para trabajar, desde herramientas simples como filtros y ecualizadores, hasta estructuras complicadas, como lo es un transmisor TVD completo. Existe además una gran comunidad, muy activa, que está permanentemente publicando nuevos contenidos, para ampliar la gama de herramientas existentes en la actualidad. Esto se da porque al ser de código abierto, es relativamente sencillo crear bloques nuevos. El entorno soporta desarrollos de código en Python y en C++, siendo este último el lenguaje con el que hemos implementado nuestro transmisor *gr-isdbt-tx*, en la figura 4 se puede ver el diagrama de bloques.

### IV. EL BROADCAST TRANSPORT STREAM

El estándar MPEG no está pensado para la transmisión en capas jerárquicas. Para lograr la característica de la transmisión jerárquica y la recepción parcial, ISDB-T cuenta con una solución propia denominada Broadcast Transport Stream. Esta solución consiste en el uso de un flujo de transporte propio, formado a partir de tres flujos MPEG multiplexados, lo que supone un procesamiento no tan sencillo. El nuevo flujo deberá incluir cierta información jerárquica, que no provee MPEG, que permita identificar los flujos con sus correspondientes capas jerárquicas. Es importante que el sistema funcione a una velocidad de reloj constante y determinada, por este motivo el flujo BTS deberá tener una tasa perfectamente definida y constante independientemente de los parámetros de cada capa.

La conformación del BTS se lleva a cabo en el bloque TS Remux. Es el encargado de agregar 16 bytes al final de cada paquete TS con la ISDB-T information y la paridad; posicionar los TSP dentro del BTS de acuerdo a cierto patrón de ordenamiento que se detallará, para posibilitar la transmisión jerárquica; insertar la cantidad necesaria de paquetes nulos para asegurar una tasa constante

$$r_{BTS} = 4 \times f_{IFFT} \approx 32.508 Mbps \quad (1)$$

La obtención de la fórmula anterior puede encontrarse en [6]. Durante la división jerárquica la ISDB-T information de los TSP es removida por lo cual en las siguientes fases de procesamiento ya no se cuenta con la información jerárquica

en los flujos de transporte. Es por eso, que resulta necesario definir un orden dentro del BTS de manera que el receptor

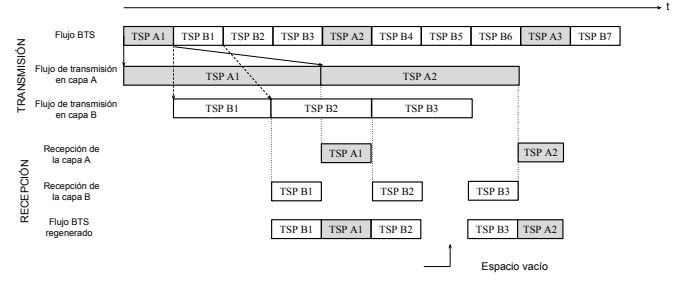


Fig. 2: Patrón de ordenamiento incorrecto del BTS.

pueda reconstruirlo perfectamente sin necesidad de la ISDB-T information. Supongamos que tenemos un BTS como el de la figura 2.4 en el cual hay dos capas jerárquicas A y B, cada una con su respectiva tasa tal que  $r_{BTS} > r_B > r_A$ . Las capas con tasas altas implican un tiempo de transmisión de paquetes mucho más corto que las capas con tasas bajas, y viceversa. Observando el diagrama de la figura 2 puede verse que en recepción el paquete B1 es procesado antes de que termine de ser transmitido el paquete A1, cuando en realidad el orden original era A1 y luego B1. Además se generan espacios de tiempo en los cuales no se entregan paquetes al sistema porque aún se están procesando paquetes que van arribando. Esos intervalos de tiempo deben ser rellenos con paquetes nulos a fin de mantener la tasa constante. Esto resulta en un desordenamiento del patrón original del BTS y de la pérdida total de la capacidad de reordenar los datos en recepción.

Para formar los patrones de ordenamiento en transmisión de manera tal que el receptor sea capaz de recuperarlos perfectamente, se agregan los denominados ajustes de atraso. En el ejemplo de la figura 3 se agrega un ajuste de atraso de 2 TSP y se introduce un paquete nulo en el BTS original. Como resultado, el flujo BTS reconstruido por el receptor resulta ser exactamente igual al BTS original. Dada una configuración jerárquica del sistema, existe un único patrón de ordenamiento del BTS.

El transmisor implementado en este trabajo toma como flujo de entrada un BTS ya conformado, y con la información jerárquica de los TSP es que logra procesar cada capa por separado. De ahí en adelante las capas son entrelazadas y moduladas cada una de acuerdo a su propia configuración.

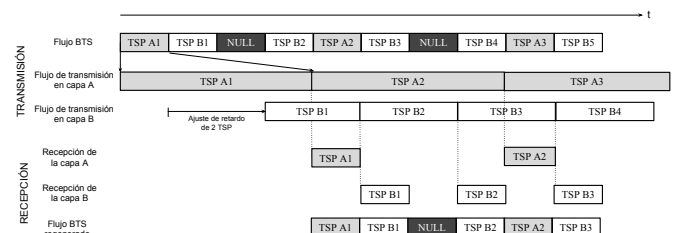


Fig. 3: Patrón de ordenamiento correcto del BTS.

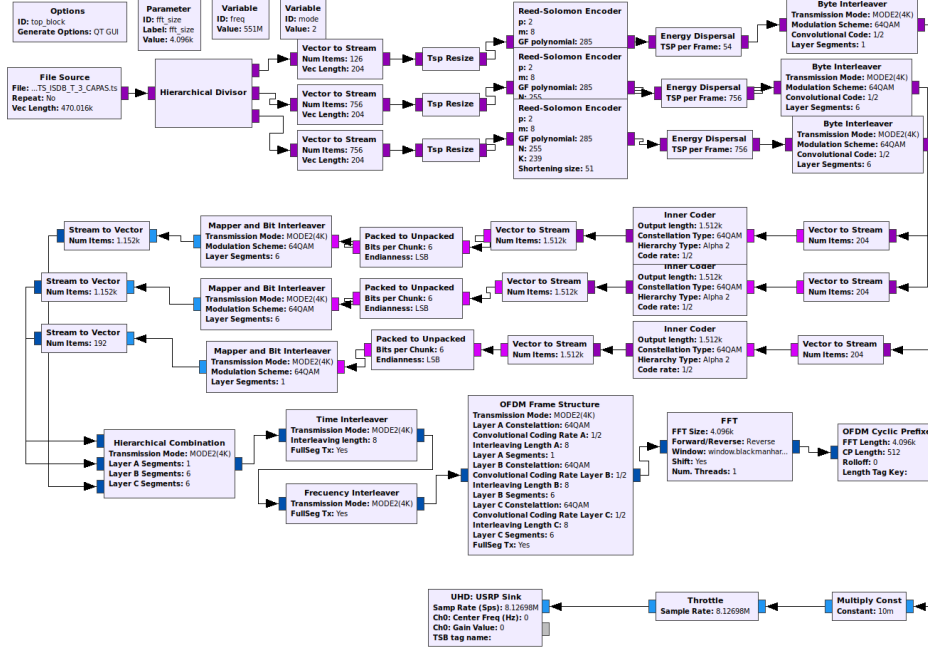


Fig. 4: Flowgraph del sistema gr-isdbt-tx.

## V. LOS AJUSTES DE ATRASO Y EL SINCRONISMO

Los bloques de entrelazamiento introducen atrasos. Estos atrasos son producto de los retardos variables a los que se someten los bytes, bits o símbolos complejos. Para que el sistema funcione correctamente el atraso total introducido por cada bloque debe ser un múltiplo de cuadro OFDM. Esto es un detalle importante que se tuvo en cuenta en el desarrollo de *gr-isdbt-tx*, por lo que entendemos necesario desarrollar el concepto del ajuste de atraso.

### A. Ajuste de atraso en el entrelazamiento de byte

El entrelazamiento de bytes se implementa empujando secuencialmente los bytes que arriban al bloque hacia búfers o colas. Estas colas son 12, y tienen un tamaño definido de  $17 \times i$  bytes, con  $i \in [0, \dots, 11]$ . Este proceso introduce un retardo equivalente al tamaño de la cola más larga multiplicado por el número de colas, es decir que el retardo es:

$$d_{bytes} = (11 \times 17 \times 12) = 2244 \text{ bytes} \quad (2)$$

Expresado en TSP, los 2244 bytes equivalen a 11 TSPs (cada TSP tiene 188 bytes más 16 bytes insertados por el codificador Reed-Solomon). Para conocer el ajuste que es necesario realizar lo que debemos hacer es calcular cuántos TSP hay en un cuadro OFDM y a este número restarle los 11 TSP que agrega el proceso de por sí. En particular para una capa jerárquica con modulación  $m_L$ , código convolucional  $FEC_L$ , el ajuste de atraso necesario es el siguiente:

$$D_{TSP} = \frac{204 \times m_L \times FEC_L \times 96 \times 2^{modo-1}}{8 \times 204} - 11 \quad (3)$$

Por lo tanto expresado en bytes, el ajuste que hay que agregar es  $204 \times D_{TSP}$  bytes.

### B. Ajuste de atraso en el entrelazamiento de bits

En este entrelazamiento se utilizan 2, 4 ó 6 colas dependiendo si la modulación utilizada es QPSK, 16QAM, o 64QAM respectivamente. El tamaño de las colas,  $q_i$ , viene definido por el estándar. Por ejemplo para 16QAM los tamaños son  $q_0 = 0$ ,  $q_1 = 40$ ,  $q_2 = 80$ ,  $q_3 = 120$ . Cualquiera sea la modulación el retardo máximo siempre es de 120 bits. Sin embargo vamos a dejarlo paramétrico en  $q_i$  a fin de calcular el ajuste de atraso que es necesario introducir a cada cola.

El retardo agregado por el proceso corresponde al camino más largo que deben atravesar los bits, es decir un retardo de 120 símbolos. Según la modulación que utilice la capa, estos 120 símbolos se traducen en un mayor o menor retardo en el tiempo; para QPSK corresponde a esperar que ingresen  $120 \times 2$  bits en la entrada, mientras que para 64QAM deben pasar  $120 \times 6$  bits.

Como los retardos deben ser siempre múltiplos de símbolos OFDM, el tamaño de un símbolo OFDM corresponde a:

$$N_{OFDM} = m_L \times N_L \times 96 \times 2^{modo-1} \text{ bits} \quad (4)$$

$N_{OFDM}$  depende de la cantidad de segmentos utilizados  $N_L$ , del modo de transmisión y de la modulación de la capa  $m_L \in \{2, 4, 6\}$ .

La solución implementada en este bloque es distinta a la del entrelazador de bytes. Aquí, el retardo total se obtiene incrementando los tamaños de las colas de manera que el retardo total sea de dos símbolos OFDM para cada capa. Por lo tanto para tener el retardo deseado los tamaños de las colas deben ser:

$$Q_i = q_i + \frac{2 \times N_{OFDM} - 120 \times m_L}{m_L} \quad (5)$$

$$Q_i = q_i + N_L \times 96 \times 2^{modo-1} - 120 \quad (6)$$

Una vez que son empujados los bits en cada cola, desde el otro extremo se extrae un bit por cola y se mapean en un símbolo complejo de acuerdo a lo establecido en la norma.

### C. Ajuste de atraso en el entrelazamiento temporal

En el caso del entrelazamiento temporal, los símbolos complejos que arriban al bloque son encolados de manera secuencial en búfers de tamaño definido por la siguiente expresión:

$$q_L(i) = I_L \times ((i \times 5) \bmod 96) \quad (7)$$

donde  $i \in [0, 96 \times 2^{modo-1}]$  representa el número de portadora e  $I_L$  es la profundidad del entrelazamiento y puede tomar los valores de la tabla I.

Este proceso genera un atraso de  $95 \times I_L \bmod 204$  símbolos, entonces para completar un cuadro OFDM hacen falta:

$$d_I = 204 - (95 \times I_L \bmod 204) \quad (8)$$

símbolos OFDM. Por lo tanto el retardo total en cuadros OFDM introducido por el proceso será:

$$N_L = (95 \times I_L + d_I) \bmod 204 \quad (9)$$

La implementación en el transmisor de este ajuste de atraso consiste en empujar los símbolos que arriban al bloque a cada una de las colas de tamaño  $I_L \times (i \times 5) \bmod 96 + d_I$ . Del otro extremo de las colas se toman los símbolos secuencialmente y se tiene la secuencia entrelazada. Este mecanismo, al igual que otros entrelazamientos, hace que en el arranque del sistema se tengan datos espurios en los registros.

## VI. PRUEBAS

### A. Pruebas contra *gr-isdbt*

Considerando que realizamos la mayoría del desarrollo contrastando los bloques del transmisor contra los de *gr-isdbt*, no parecería en principio un desafío mayor lograr la decodificación punta a punta. Pero en sí, lo es, y eso es parte de la potencia del desarrollo con código abierto, constantemente podemos estar evaluando nuestro desempeño desde el otro lado.

Como receptor, *gr-isdbt* ha sido sometido a una diversidad de pruebas con resultados satisfactorios, por lo tanto, podemos considerarlo como una simulación de un televisor comercial válida. Es en ese punto en el que comenzamos las pruebas. Dentro de un entorno controlado, el transmisor *gr-isdbt-tx* conectado a la entrada del receptor *gr-isdbt*.

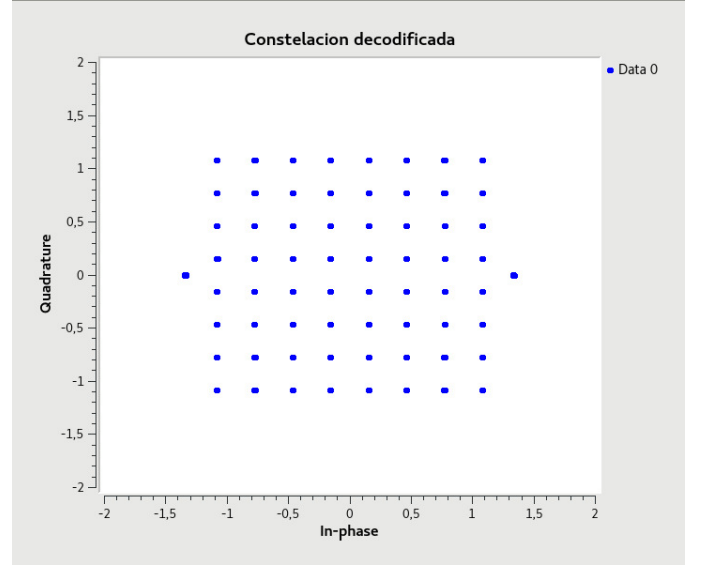


Fig. 5: Constelación recibida con *gr-isdbt*. Prueba realizada dentro de GNU Radio.

1) *Pruebas sobre el flowgraph*: En este caso ideal, donde todo funciona dentro de un mismo flowgraph y no hay variabilidad de las muestras transmitidas, el transmisor se comporta de forma perfecta. Detectamos un consumo excesivo de CPU en algunos bloques, en parte debido a problemas de optimización del código.

Para la prueba sobre flowgraph se utilizó un BTS constituido por tres capas jerárquicas donde se destina un segmento para la capa A y seis segmentos para las capas B y C respectivamente, todas moduladas en 64QAM. Tanto la tasa de código convolucional como la profundidad del entrelazamiento temporal son las mismas para las tres capas y son de 1/2 y 8 respectivamente.

Como se puede ver en la figura 5, el receptor *gr-isdbt* se sincroniza perfectamente con la señal transmitida, y en la constelación de recepción, vemos la misma constelación que en transmisión. Esto no debe sorprender, ya que en esta prueba, el canal está representado por un cable ideal. En la misma figura se puede apreciar las modulaciones 64QAM utilizada para las portadoras de datos y BPSK para las señales piloto.

Recibir la constelación perfecta en *gr-isdbt* significa varias cosas. Por un lado el cuadro OFDM está siendo conformado correctamente del lado del transmisor, por otro lado, se está decodificando correctamente las portadoras piloto (SP, TMCC y piloto continuo). Además el receptor entiende perfectamente la información contenida en la TMCC, es decir que su contenido es el correcto y pasa satisfactoriamente los chequeos de paridad.

Podemos asegurar que esta prueba constituye un éxito dado que en el otro extremo de *gr-isdbt* se logró obtener cada una de las tres capas jerárquicas transmitidas sin ningún tipo de error.

2) *Pruebas en el aire*: Realizamos la misma prueba con *gr-isdbt* como receptor, pero en lugar de simular un canal en GNU Radio, utilizamos el aire como medio, transmitiendo en una línea vista, a un metro de distancia.



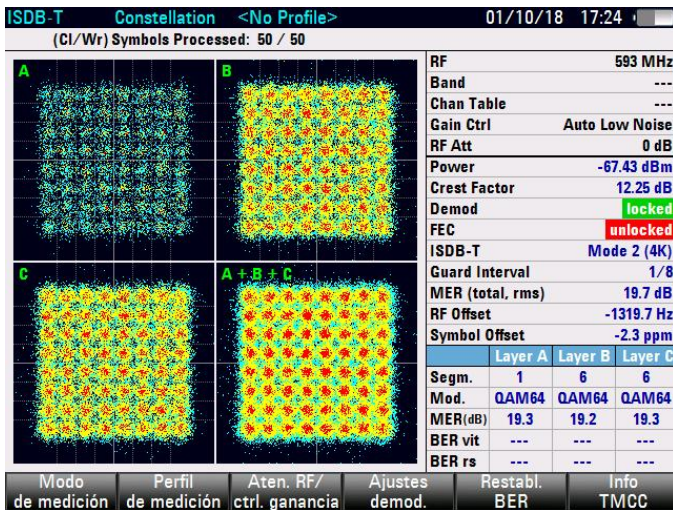


Fig. 6: Constelación de las tres capas jerárquicas tomadas con el analizador de TV ETH.

En una primera instancia no se obtenía video a la salida de *gr-isdbt*, se veía la constelación decodificada de manera intermitente pero con demasiado ruido. Para esta prueba se estaba utilizando el USRP B100 como transmisor y el HackRF como receptor. Luego de realizar varias pruebas pudimos constatar que el HackRF introduce un offset de continua considerable lo cual no lo hace particularmente bueno para esta prueba. Una vez identificado este problema junto con otros bugs en el transmisor, fué posible la recepción exitosa con *gr-isdbt*.

### B. Pruebas contra televisores comerciales

Las pruebas de validación con *gr-isdbt*, tanto dentro del framework de GNU Radio como en el aire, permitieron dar el siguiente paso para probar el transmisor contra televisores comerciales homologados para el estándar.

Esta prueba consistió en utilizar un laptop con procesador Intel Core i7, 16GB de RAM, disco SSD, corriendo *gr-isdbt-tx* junto con un USRP B100 y una antena para la banda de TV digital. Desde el televisor se realizó un escaneo y la detección de nuestro canal fué inmediata. El televisor logró reproducir perfectamente el contenido que le estábamos transmitiendo, mostrando una excelente calidad de audio y video para cada una de las capas jerárquicas. Se probó transmitir sin línea de vista, moviendo la antena transmisora, y a una distancia de hasta 5 metros con excelentes resultados.

### C. Pruebas contra equipos analizadores de TV

Durante el desarrollo de las pruebas anteriores aparecieron una serie de bugs que se presentaron como un verdadero desafío. Los problemas de recepción inalámbrica con *gr-isdbt* y las imperfecciones al momento de recibir en un TV comercial, motivaron el uso de sofisticadas herramientas comerciales para tener una idea de las posibles causas. Se tuvo la posibilidad de acceder a un equipo ETH de Rohde & Schwarz [7], propiedad de la Unidad Reguladora de Servicios de Comunicaciones [8],

que es capaz de analizar señales de TV compatible con ISDB-T.

Como vemos en la figura 6, con este instrumento se pudo observar claramente las constelaciones de las tres capas jerárquicas pero con demasiado ruido. También se observó que la señal presenta una variabilidad bastante grande del offset en frecuencia, que va desde los 400Hz a los 1300Hz. Este parámetro para las señales comerciales de TVD presenta una estabilidad considerable, variando en el entorno de los 5Hz. Los cristales de los equipos SDR utilizados tienen una precisión del orden de las 20ppm, lo cual hace que sea razonable esta variación encontrada.

## VII. CONCLUSIONES Y TRABAJO A FUTURO

Este proyecto tenía como objetivos, dos grandes ítems. Por un lado buscábamos implementar un transmisor de televisión digital basado en SDR, cuya validez estaría determinada por la capacidad de transmitir hacia un televisor comercial homologado para ISDB-T. Por otro lado, también buscábamos echar luz sobre el conocimiento disponible sobre la norma ISDB-T.

En cuanto al primer objetivo, entendemos que ha sido cumplido de forma satisfactoria. Hemos probado el transmisor contra varios televisores comerciales, de diferentes proveedores, y en todos los casos el equipo encuentra el canal transmitido de forma exitosa, y decodifica las tres capas procesadas de forma correcta.

Durante las pruebas encontramos diversos problemas que, mediante distintas estrategias, hemos podido solucionar. Cada prueba realizada aportó su cuota en el proceso de validación del transmisor. Como se mencionó anteriormente, dentro del flowgraph las cosas parecían funcionar perfectamente pero al pasar a testear sobre *gr-isdbt* aparecieron otra clase de problemas, al igual que en los televisores comerciales. Esto deja en evidencia la necesidad de tener un profundo dominio de cada aspecto de la norma, de otra manera, por ejemplo, un simple error al realizar los ajustes de atraso hace que el sistema deje de funcionar por completo.

El repositorio con el proyecto está disponible de forma gratuita para cualquier interesado en aprender mas de la norma ISDB-T, y en conjunto con *gr-isdbt*, se tiene una herramienta de análisis del sistema, que cuenta con control absoluto de todas las variables.

Queda pendiente el mejor desarrollo de algunos de los bloques del sistema. Algunos ítems, como la portabilidad del divisor jerárquico, será necesario resolver cuanto antes para robustecer el funcionamiento del transmisor. También las mejoras por el lado de la optimización de la programación y el manejo de recursos de la PC. En la primer ejecución de *gr-isdbt* para transmitir con el USRP, el bloque OFDM Frame Structure acaparaba todo el procesador. Para seguir adelante fué necesario replantearse la programación del bloque, de otra manera era imposible tener un transmisor funcional. Esto se logró y mejoró notablemente el rendimiento, pero aún queda trabajo en algunos otros bloques demandantes.

Por otra parte entendemos que con este trabajo se ha podido dejar en evidencia una vez más las grandes capacidades

que tienen GNU Radio y las SDR, y el amplio abanico de posibilidades que ofrecen a la hora de desarrollar sistemas de comunicaciones.

#### REFERENCIAS

- [1] E. Research, <https://kb.ettus.com/B100>, 2010, [Web; accedido el 01-10-2018].
- [2] G. S. Gadgets, <https://greatscottgadgets.com>, 2018, [Web; accedido el 01-10-2018].
- [3] J. Hernandez and S. Castro, “gr-isdbt-tx,” <https://github.com/jhernandezbaraiar/gr-isdbt-Tx>, 2018, [Web; accedido el 04-12-2018].
- [4] MPEG, “Moving Picture Experts Group,” <https://mpeg.chiariglione.org/>, 1995, [Web; accedido el 06-11-2018].
- [5] ARIB, “Transmission System for Digital Terrestrial Television Broadcasting,” [https://www.arib.or.jp/english/html/overview/doc/6-STD-B31v1\\_6-E2.pdf](https://www.arib.or.jp/english/html/overview/doc/6-STD-B31v1_6-E2.pdf), 2001.
- [6] R. W. Chang, “Synthesis of band-limited orthogonal signals for multichannel data transmission,” *Bell System Technical Journal*, vol. 45, no. 10, pp. 1775–1796, 1966.
- [7] P. Flores-Guridi, “La norma ISDBT y un receptor implementado en SDR,” [https://iie.fing.edu.uy/investigacion/grupos/artes/wp-content/uploads/sites/13/2017/04/tesis\\_MSc\\_pflores-corregida2-acta.pdf](https://iie.fing.edu.uy/investigacion/grupos/artes/wp-content/uploads/sites/13/2017/04/tesis_MSc_pflores-corregida2-acta.pdf), 2016.
- [8] R. . Schwarz, “R & S ETH Handheld TV Analyzer,” [https://www.rohde-schwarz.com/fi/product/eth-productstartpage\\_63493-10186.html](https://www.rohde-schwarz.com/fi/product/eth-productstartpage_63493-10186.html), 2018, [Web; accedido el 8-10-2018].
- [9] URSEC, “Unidad reguladora de servicios de comunicaciones,” <https://www.ursec.gub.uy>, 2018, [Web; accedido el 04-12-2018].
- [10] F. Larroca, P. Flores-Guridi, G. Gmez, V. Gonzalez Barbone, and P. Belzarena, “An open and free ISDB-T full seg receiver implemented in GNU Radio,” <https://iie.fing.edu.uy/publicaciones/2016/LFGGB16/LFGGB16.pdf>, 2016.
- [11] S. Weinstein and P. Ebert, “Data transmission by frequency-division multiplexing using the discrete Fourier transform,” *IEEE transactions on Communication Technology*, vol. 19, no. 5, pp. 628–634, 1971.
- [12] T. K. Moon, “Error correction coding,” *Mathematical Methods and Algorithms*. Jhon Wiley and Son, 2005.
- [13] MPEG, “MPEG 4 part 10,” <https://www.iso.org/standard/52974.html>, 2009, [Web; accedido el 5-10-2018].
- [14] —, “MPEG 2 part 1,” <https://www.iso.org/standard/55688.html>, 2010, [Web; accedido el 5-10-2018].
- [15] P. Flores-Guridi and F. Larroca, “The ISDB-T multiplex frame pattern explained,” in *URUCON, 2017 IEEE*. IEEE, 2017, pp. 1–4.
- [16] G. D. Forney, “Concatenated codes.” 1965.
- [17] J.-J. Van de Beek, M. Sandell, and P. O. Borjesson, “ML estimation of time and frequency offset in OFDM systems,” *IEEE transactions on signal processing*, vol. 45, no. 7, pp. 1800–1805, 1997.
- [18] A. S. Margulies and J. Mitola, “Software defined radios: a technical challenge and a migration strategy,” in *Spread Spectrum Techniques and Applications, 1998. Proceedings., 1998 IEEE 5th International Symposium on*, vol. 2. IEEE, 1998, pp. 551–556.
- [19] G. Radio, “GNU Radio Software,” <https://www.gnuradio.org/>, 2016, [Web; accedido el 01-10-2018].
- [20] E. Research, <https://www.ettus.com/>, 2010, [Web; accedido el 01-10-2018].
- [21] —, “The USRP? Hardware Driver Repository,” <https://github.com/EttusResearch/uhd>, 2018, [Web; accedido el 24-11-2018].
- [22] G. U. BogdanDIA, “DVB-T implementation in GNU Radio,” <https://github.com/BogdanDIA/gr-dvbt>, 2015, [Web; accedido el 06-11-2018].